

18 放水路サージチャンバーのサージングの簡易計算法

中央大学工学部 工博 林 泰造

§ 1 緒言

筆者はさきに、負荷遮断に伴う放水路サージタンクサージングの研究を行い、サージングの基本式を提示した。¹⁾ この理論は実験とよく合致するところがあるが、その計算式が取り扱い上多少繁雑であるといふ点でこの簡易化が望まれてきた。千秋信一・秋元保兩氏はこの簡易化につき優れた寄文をされてゐる。²⁾ 本報もまたこの簡易化に関するものである。図式解法の導入により、前理論式にとどまらず、簡単な実用計算の方法を示すとするものである。

§ 2 筆者の前理論の概要

放水路が圧力水路となる場合(図-1)に着目する。負荷遮断に伴うサージチャンバー内水面は下降し、自由水面が放水路内に侵入してゆく(写真-1)、放水路内の水部分がそれだけ欠けてゆく。この現象と負の段波の伝播を考えると、実用計算のためにには複雑な現象となり過ぎ

るので、この場合の放水路内の水面形を、図-2のように形状を近似して考える。すなはち動水勾配は常に直線ABC

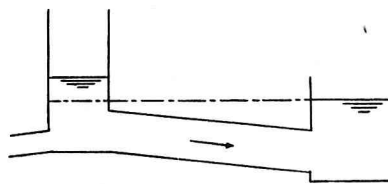


図-1 負荷遮断前の状況

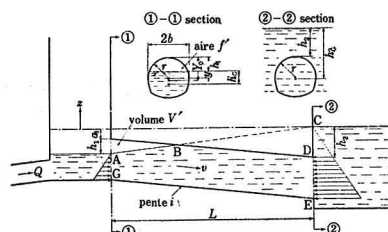


図-2 サージング時の仮定水面形

で表わされ、このが常にCと固定され回転するものと仮定する。すると、放水路内の水流に対する運動方程式はつぎのようになる。

$$\frac{W}{g} \frac{dv}{dt} = P_1 - P_2 + Wi = cu^2 \quad \dots (1)$$

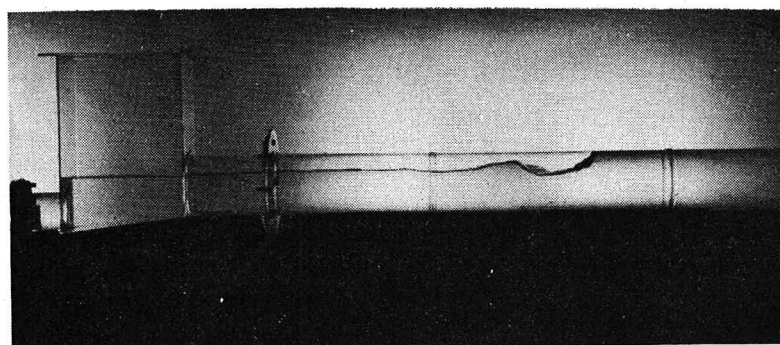


写真-1 負荷遮断に伴う自由水面の侵入

ただし、 P_1, P_2 はそれぞれ放水トンネル入口および出口各断面にあたる流水中に作用する水圧の合力、 W は放水トンネル内の水の重量(ABDEGA部分の重量)である。

一方、 Δt 時間の前のサージチャンバー水面の

下り $-\Delta z$, Δt 時間の間の放水量 F
ル内の空気容積の増分を $\Delta V'$ とすれば、

$$F \Delta z + \Delta V' = (fv - Q_t) \Delta t \quad \dots \dots (2)$$

となり、これが連続の方程式である。

(1) および (2) 中の P_1, P_2, W を V' と z (したがって図示の h_1) の関数と
して書き表わし、(1) および (2) に代入
すと、これらは次のようになる。

$$\frac{dv}{dt} = \frac{z \mp [cv^2 / \{1 - (V'/Lf)\}]}{L/g} \quad \dots \dots (3)$$

$$\frac{dz}{dt} = \frac{Q_t - fv}{F + \frac{L}{h_1 + h_2} (f' - \frac{V'}{L})} \quad \dots \dots (4)$$

となる。ここで

$$f' = r^2 \left[\sin^{-1} \frac{b}{r} - \frac{y}{r} \frac{b}{r} \right] \quad \dots \dots (5)$$

$$V' = \frac{L}{h_1 + h_2} r^3 \psi \quad \dots \dots \dots \dots (6)$$

$$\psi = \frac{2}{3} \left(\frac{b}{r} \right)^3 - \frac{y}{r^3} f' \quad \dots \dots \dots \dots (6-a)$$

である。 ψ の値を計算してグラフにしたもののが図-3 である。

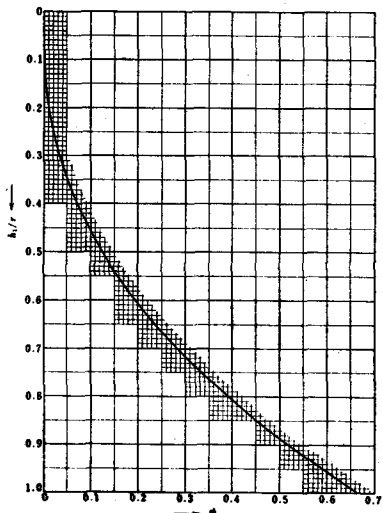


図-3 ψ の値

これらの式を用いて Runge の方法等
による数值積分によりサージングの計算を

行なうとする。

特殊の場合として、放水路内に自由水面が現われない場合には

$$f' = 0, \quad V' = 0$$

となり、(3) および (4) はそれぞれ

$$\frac{dv}{dt} = \frac{z \mp cv^2}{L/g} \quad \dots \dots \dots \dots (7)$$

$$\frac{dz}{dt} = \frac{Q_t - fv}{F} \quad \dots \dots \dots \dots (8)$$

となり、通常の導水路のサービタンクサージングの基本式と同一のものとなる。

§ 3 新しい計算方法（図式積分法）

(3) における近似式は

$$V' \ll Lf \quad \dots \dots \dots \dots (9)$$

と考えれば、同式は

$$\frac{dv}{dt} = \frac{z \mp cv^2}{L/g} \quad \dots \dots \dots \dots (10)$$

となる。この式の両辺に f をかけた差分の形に書き直せば

$$f \Delta v = \frac{gf}{L} \Delta t \cdot (z \mp cv^2) \quad \dots \dots \dots \dots (11)$$

一方、連続の方程式は (2) から

$$\Delta \left(\int F dz + V' \right) = (fv - Q_t) \Delta t \quad \dots \dots \dots \dots (12)$$

となる。(11) と (12) とにまとめて、Schoklitsch の図式計算の方法に倣い、図式解法を行なう。図-4 はその計算例を示す。

導水路のサービタンクの場合と図計算上異ることは、同図 (a) に示すと通常のサービタンク容量曲線は V' の曲線を加えてあること、および同図 (b) に示すと cv^2 曲線を上向きに画いたときに五角形である。 V' の曲線は図-3 の中の曲線を対象し、この横軸の数値を $Lr^3/(h_1 + h_2)$ 倍

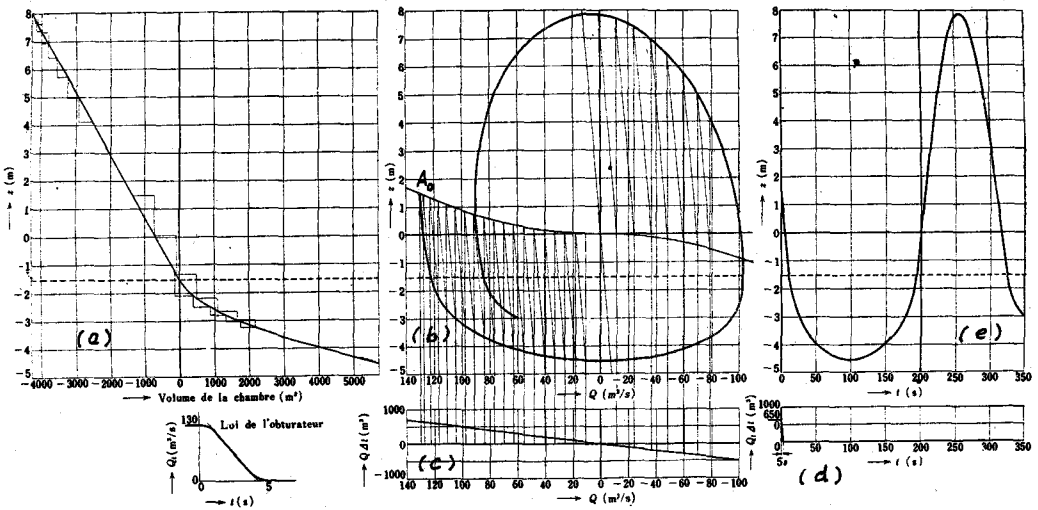


図-4 計算例

可視度 5.6.

295 j 本図計算は破壊 2 段
量 2 例、2、本作図に入 2 加
し 2 破壊 2 速に作図 2 完了す
る 2 2 成 2 事。

図-5 おおむね 図-6 15 29
お 2 本図式解法に 2 2 計算 2
水理理論曲線と実験値 2 比較
を示す 2 の 2 事。一致の度合
は破壊 2 良好 2 例、2、本報の
お 2 2 計算法は 確信 2 事。

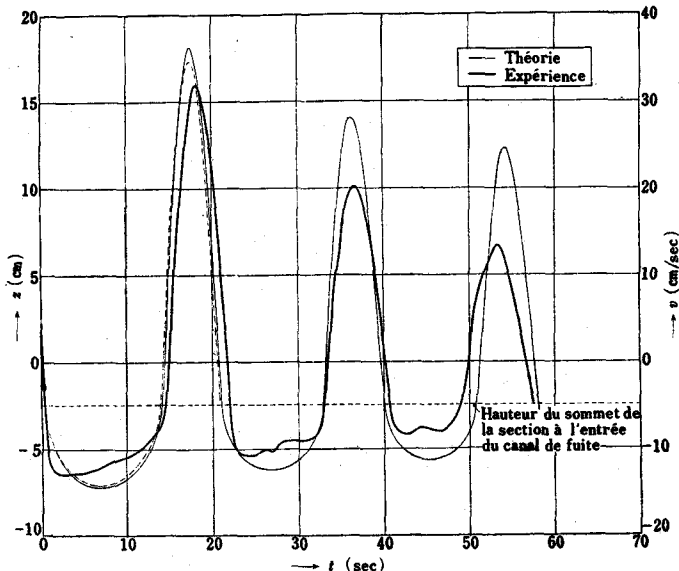


図-5 計算と実験の比較

実用に供する 2 2 事の 2 事。
2 2 が 2 事。

引 用 文 獻

- 1) 杯型造：特殊調圧水槽の水理について、土木学会三次講演会講義要旨集、1954；または The governing eqs. for surging at the surge chamber of the tail-race tunnel, 土木学会論文集 No.56.

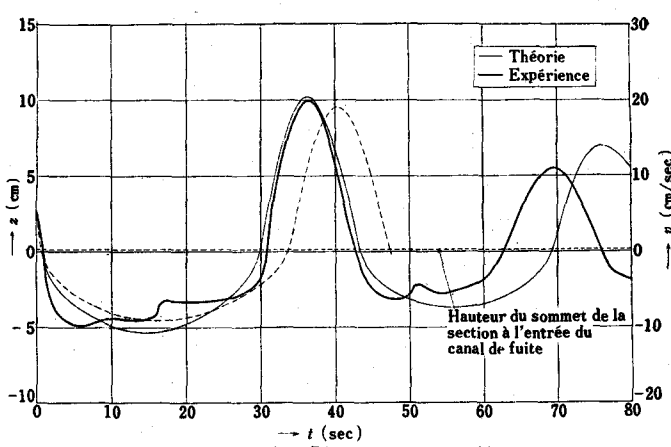


図-6 計算と実験の比較

2) 千秋信一, 秋元 保: 放水路に設ける
サージタンクの水理計算について, 土木
学会年次講演会講演要旨集, 1959.

